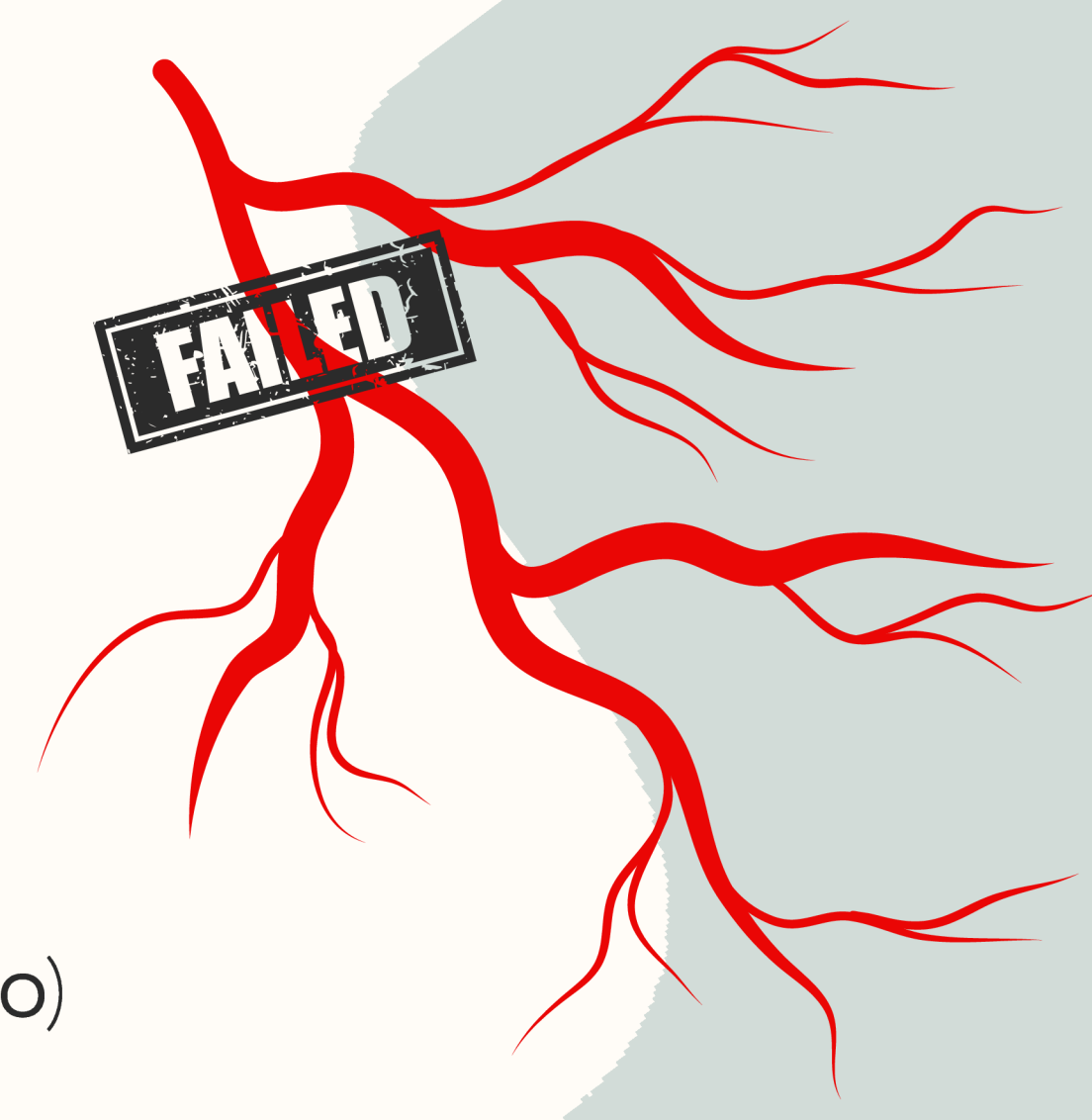
UTILIDAD DE LA ECOGRAFÍA DE CARÓTIDAS Y FEMORALES EN ATENCIÓN PRIMARIA EN PACIENTES DISLIPÉMICOS CON UN SCORE DE RIESGO **BAJO-MODERADO**

INTRODUCCIÓN

- ECV: Principal causa de muerte (17,9M en 2019, OMS)
- Afecta a la mayoría de los adultos >60 años.
- Incluye enfermedad coronaria, cerebrovascular, arterial periférica y aterosclerosis aórtica.
- III Evaluación del Riesgo Cardiovascular
- ✓ Método clásico: SCORE 2 (edad, sexo, TA, colesterol, tabaco)
- ✓ Limitación: Subestima el riesgo real
- → Nuevas estrategias: Uso de pruebas complementarias en AP.
 - Índice albúmina/creatinina (ACR)
 - Electrocardiograma (ECG)
 - Índice tobillo-brazo (ITB)
 - Ecografía carotídea y femoral (opción prometedora)



JUSTIFICACIÓN DEL ESTUDIO

© La **prevención primaria** de las enfermedades cardiovasculares es una de las actividades fundamentales que se realizan en atención primaria.

El enfoque tradicional basado en los factores de riesgo cardiovascular es poco sensible e insuficientemente discriminatorio.

De manera independiente a otros FRCV, la presencia de placa carotídea se asocia a mayor riesgo cardiovascular.

ECOGRAFÍA DE ARTERIAS CARÓTIDAS Y FEMORALES

• Permite detectar la carga ateromatosa desde estadios precoces.

La ecografía carotídea y femoral aporta múltiples ventajas con respecto a otros métodos.

• Es fácil de manejar, no requiere instalaciones complejas, es barata y no invasiva.

ECOGRAFÍA CARÓTIDAS

¿CÓMO REALIZAMOS ESTA ECOGRAFÍA?



ECOGRAFÍA FEMORALES

OBJETIVOS DEL ESTUDIO

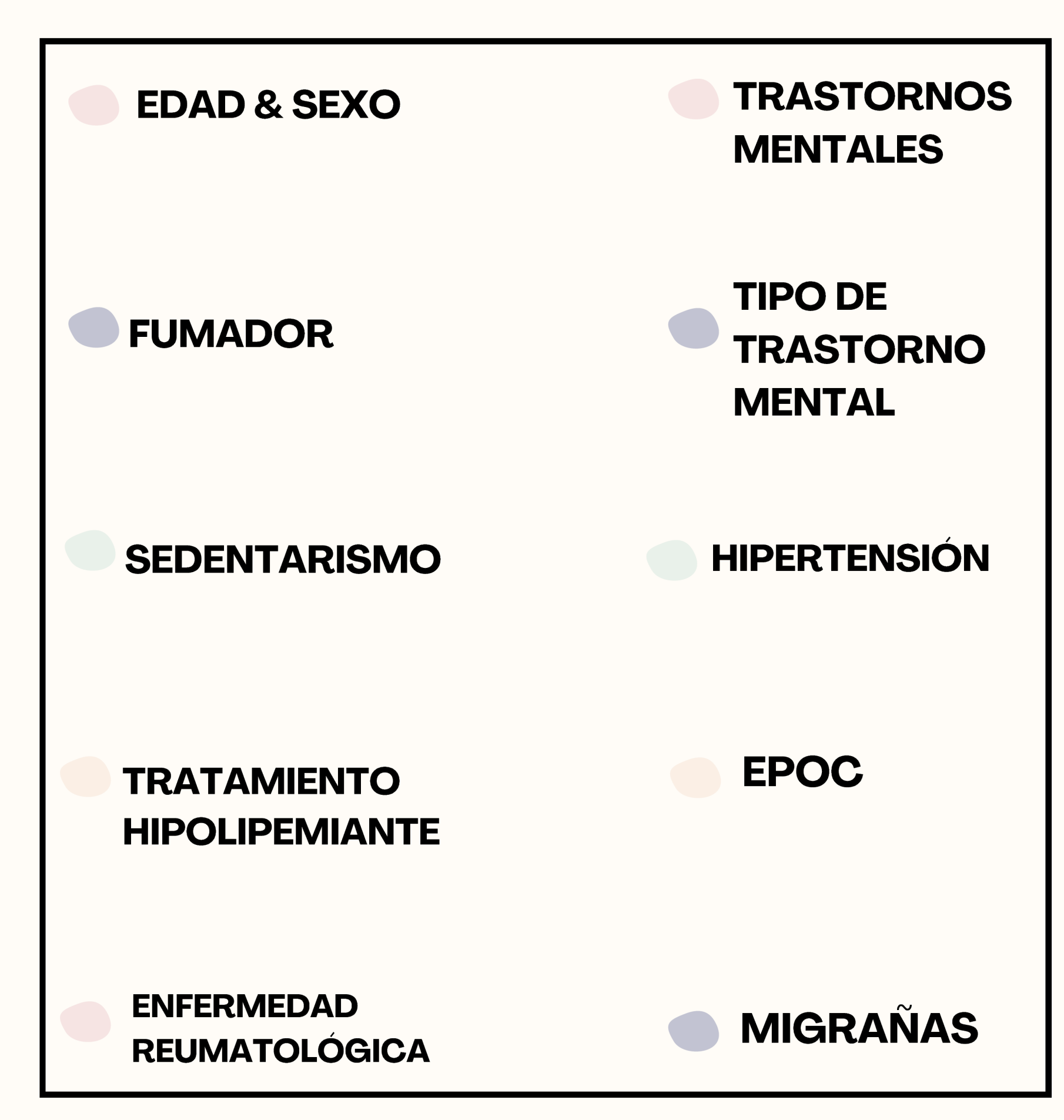
- © OBJETIVO PRIMARIO: Evaluar la ecografía carotídea y femoral como herramienta para:
 - Medir la carga aterosclerótica del paciente.
 - **Mejorar** la clasificación del riesgo cardiovascular determinando los pacientes que pasan de tener un riesgo bajo-moderado a alto.
 - Comparar con métodos tradicionales (SCORE).
 - iii Objetivo secundario: Analizar la relación entre placas ateromatosas y otros factores de riesgo cardiovascular.



VARIABLES ANALÍTICAS

TENSIÓN HDL **ARTERIAL IMC LDL COLESTEROL** LpA & ApoB **TOTAL COLESTEROL NO HDL TRIGLICÉRIDOS**

VARIABLES SOCIO-DEMOGRÁFICAS Y COMORBILIDADES



DISEÑO DEL ESTUDIO

Tipo de estudio: Análisis observacional y transversal de pacientes en Atención Primaria.

Métodos

- Pacientes **sin diagnóstico previo** de enfermedad cardiovascular.
- Estratificación del riesgo con SCORE 2 y posteriormente con ecografía carotídea/femoral.
- · Comparación de la clasificación de riesgo con y sin ecografía.
- Evaluación de la presencia de placas y su relación con otros factores de riesgo.
- Las variables analizadas con una distribución normal se han calculado con el estadístico X-Cuadrado. Las de distribución no normal con U-Mann-Whitney.



DISEÑO DEL ESTUDIO

% Cronograma

- JUNIO AGOSTO 2024: Reclutamiento.
- SEPTIEMBRE DICIEMBRE 2024: Realización de ecografías.
- ENERO 2025: recopilación de datos
- FEBRERO ABRIL 2025: Análisis de resultados obtenidos.



INCLUSIÓN

Hombres y mujeres mayores de 40 años (hombres <60 años y mujeres <74 años).

CRITERIOS

Clasificación SCORE-2 de riesgo moderadobajo.

EXCLUSIÓN

Enfermedad cardiovascular establecida presente o previa.

Diabetes mellitus de >10 años de evolución y con ECV diagnosticada.

Insuficiencia renal crónica G2A3, G3aA2 o ≥G3b.

Hipercolesterolemia familiar.

Embarazadas.

IMC ≥30 kg/m² (si la ecografía no es viable).

DISEÑO DEL ESTUDIO





10.179 (Hombres: 4.525, Mujeres: 5.654).

Nivel de confianza y precisión

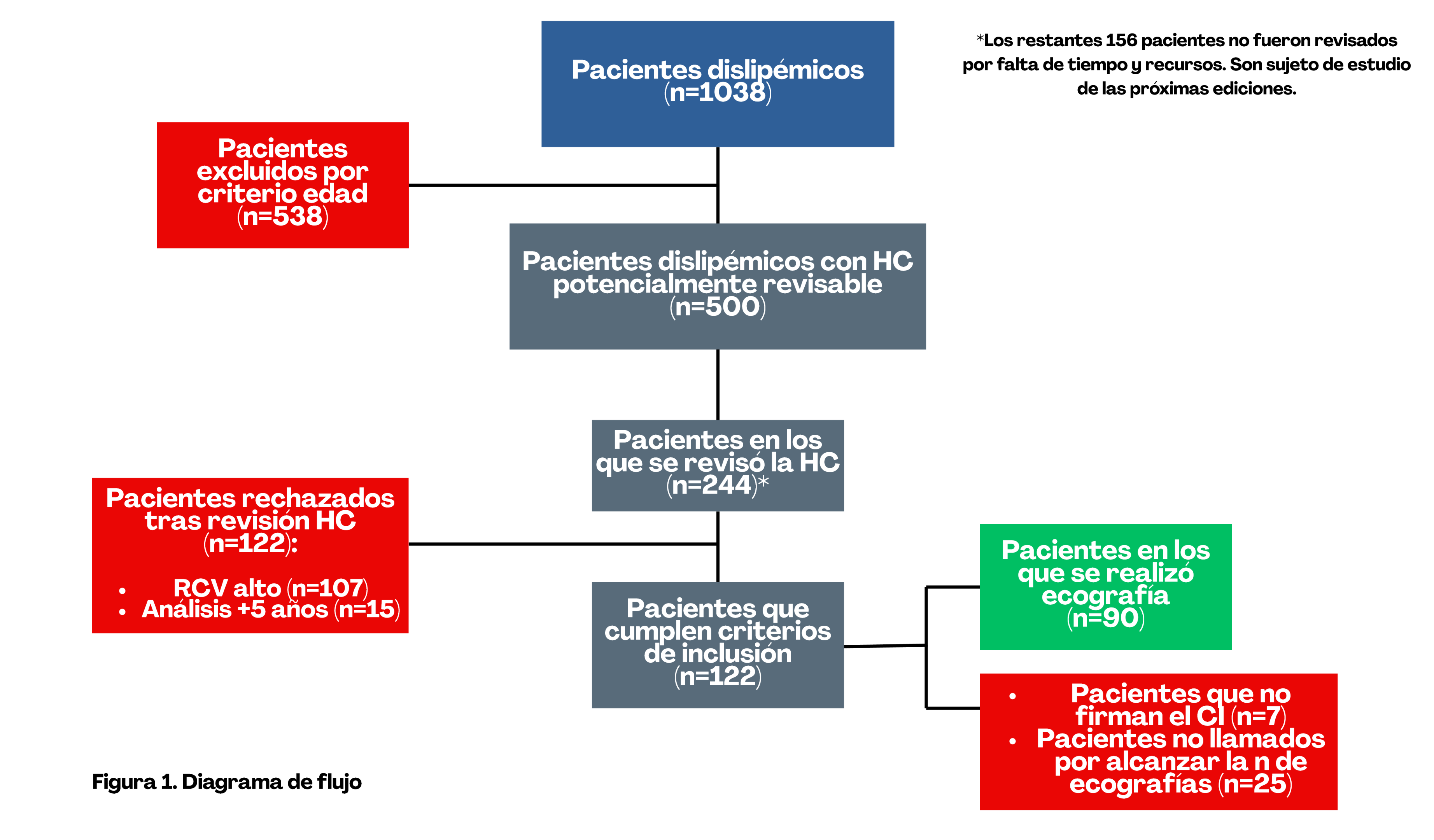
95% y 5%, respectivamente

Proporción esperada de reclasificación

20%

Muestra estimada

241 pacientes



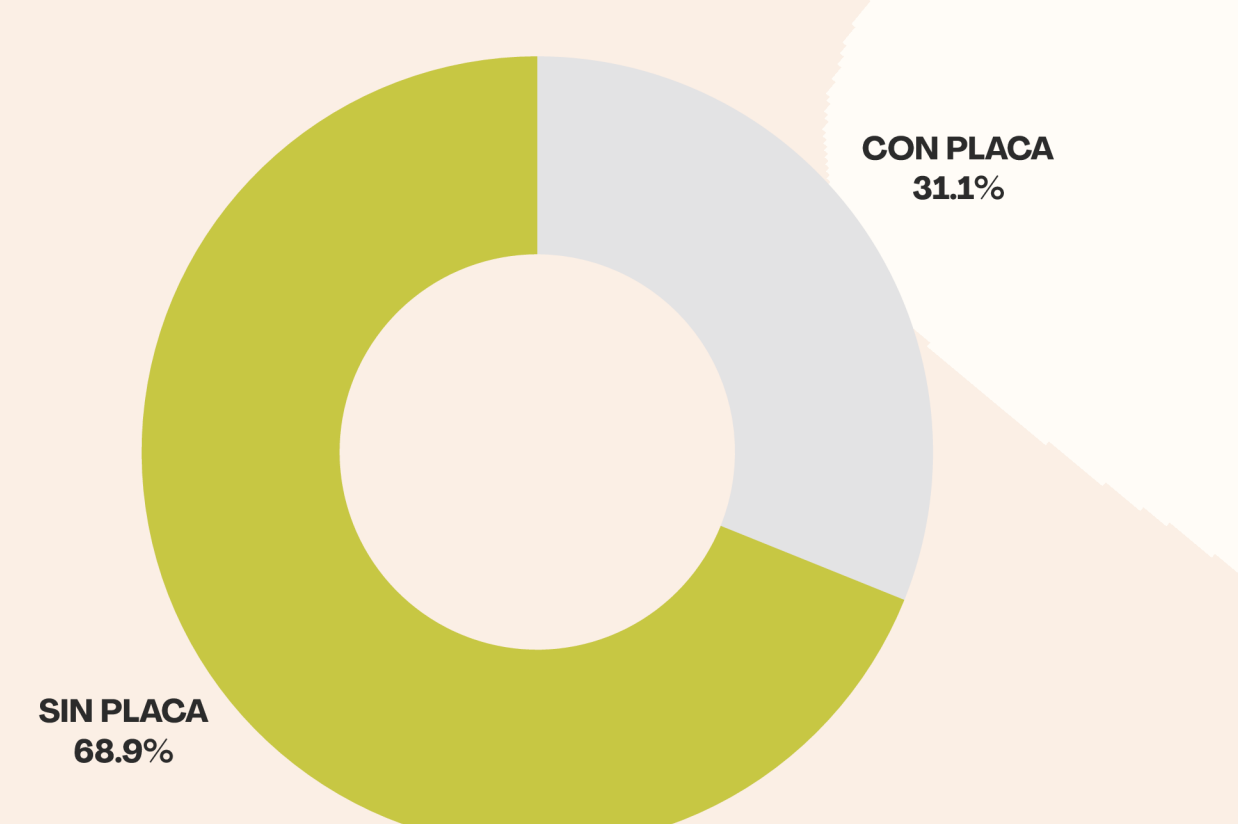
RESULTADOS

ASPECTOS SOCIO-DEMOGRÁFICOS

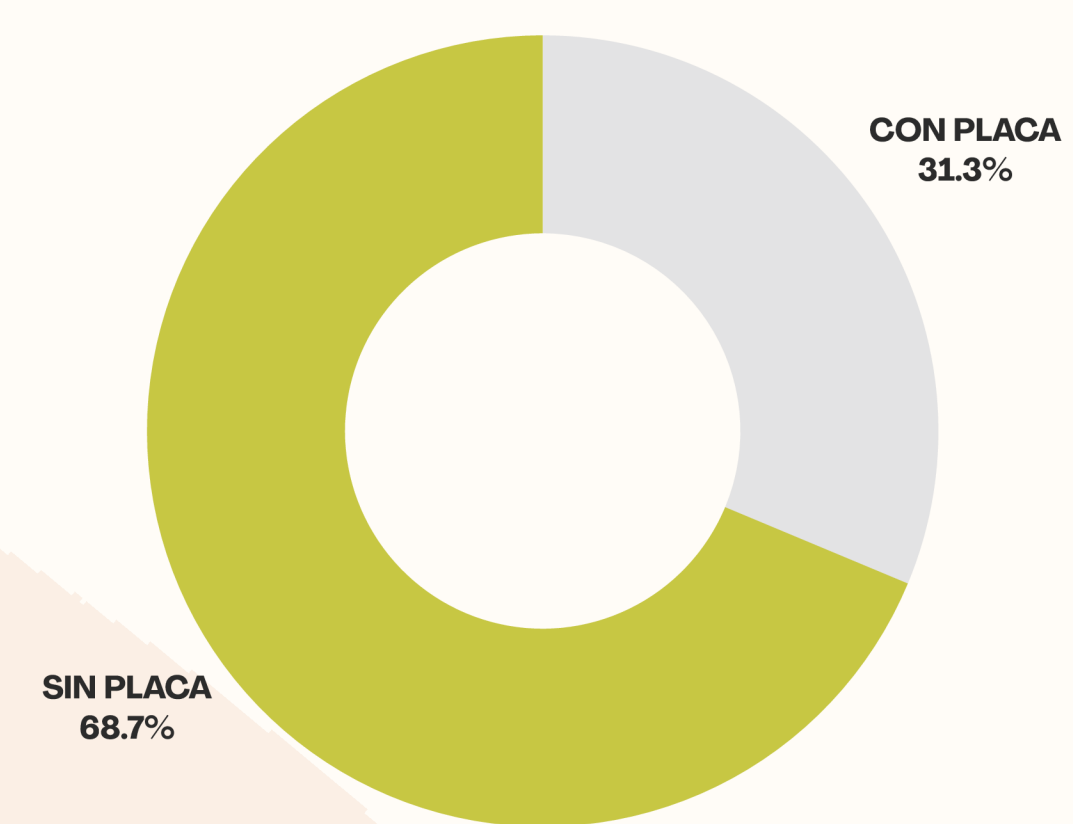
- <u>Ausencia de diferencias estadísticamente</u> <u>significativas entre sexos.</u>
- Destacamos:
 - o Edad media mayor en mujeres (efecto SCORE)
 - Cifras medias de triglicéridos, LpA y ApoB mayores en hombres.
 - o Cifras medias de HDL y LDL mayores en mujeres.
 - o Cifras medias de TA e IMC similares.
 - Mayor % de fumadores en sexo femenino.



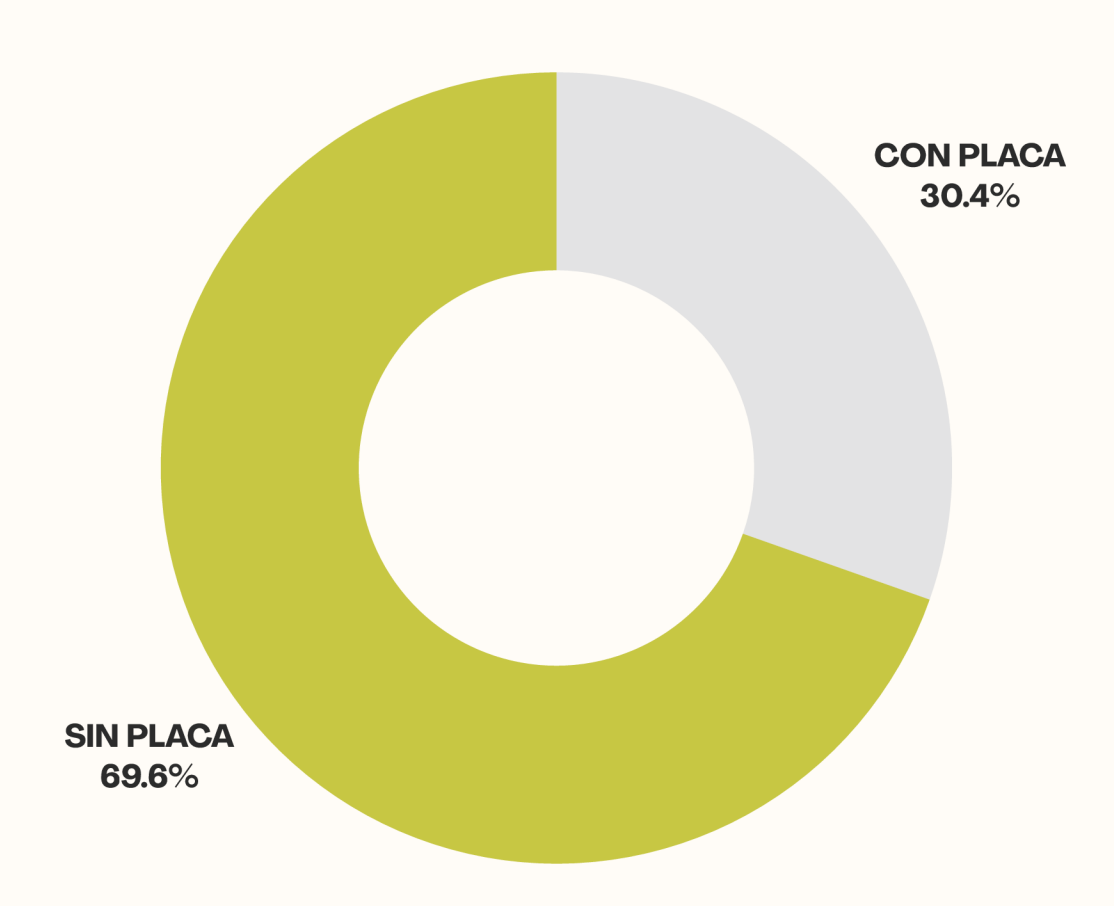
PRESENCIA DE ATEROMATOSIS SUBCLÍNICA



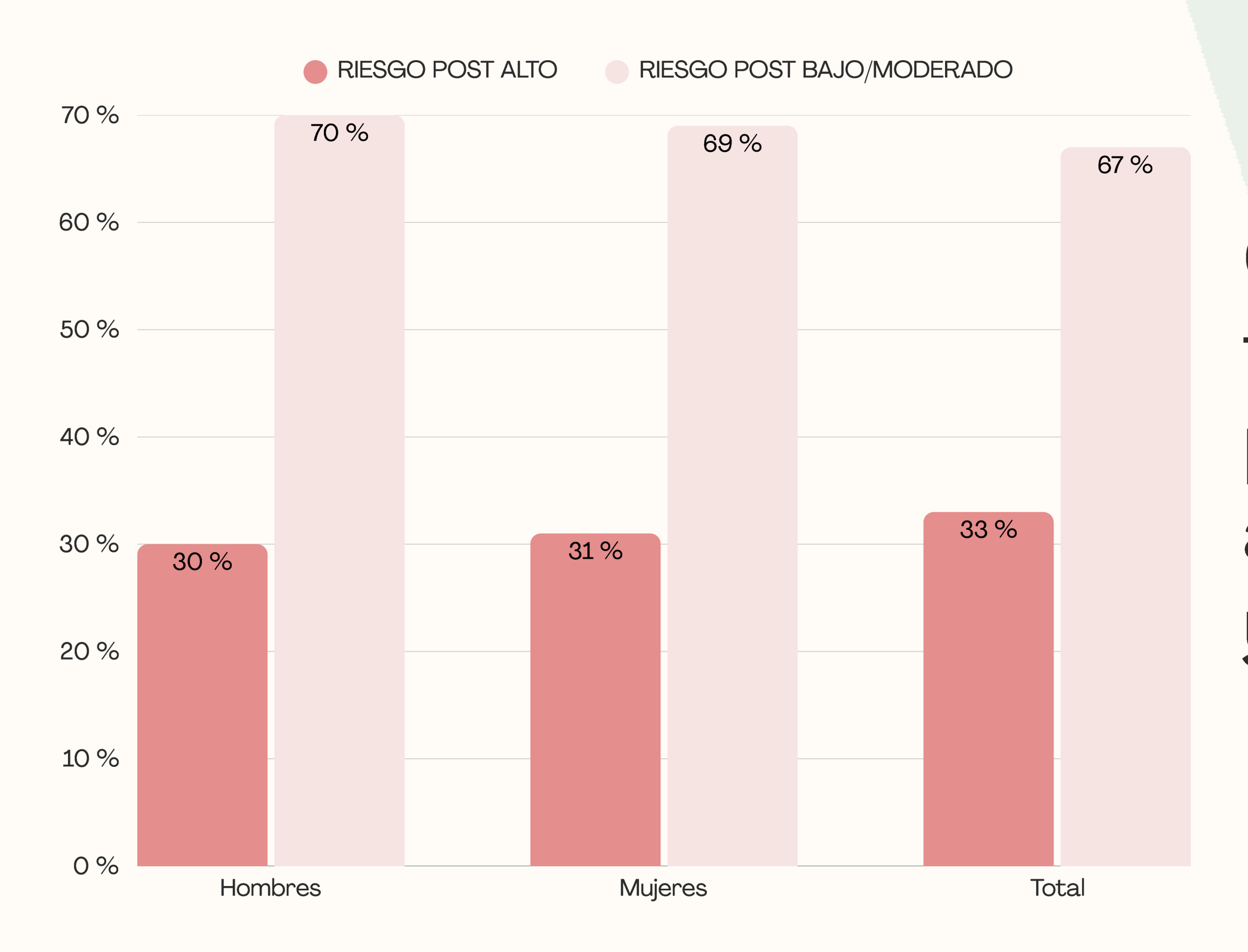
Frecuencia relativa (%) de <u>pacientes</u> con placa de ateroma



Frecuencia relativa (%)
de <u>mujeres</u> con placa de
ateroma



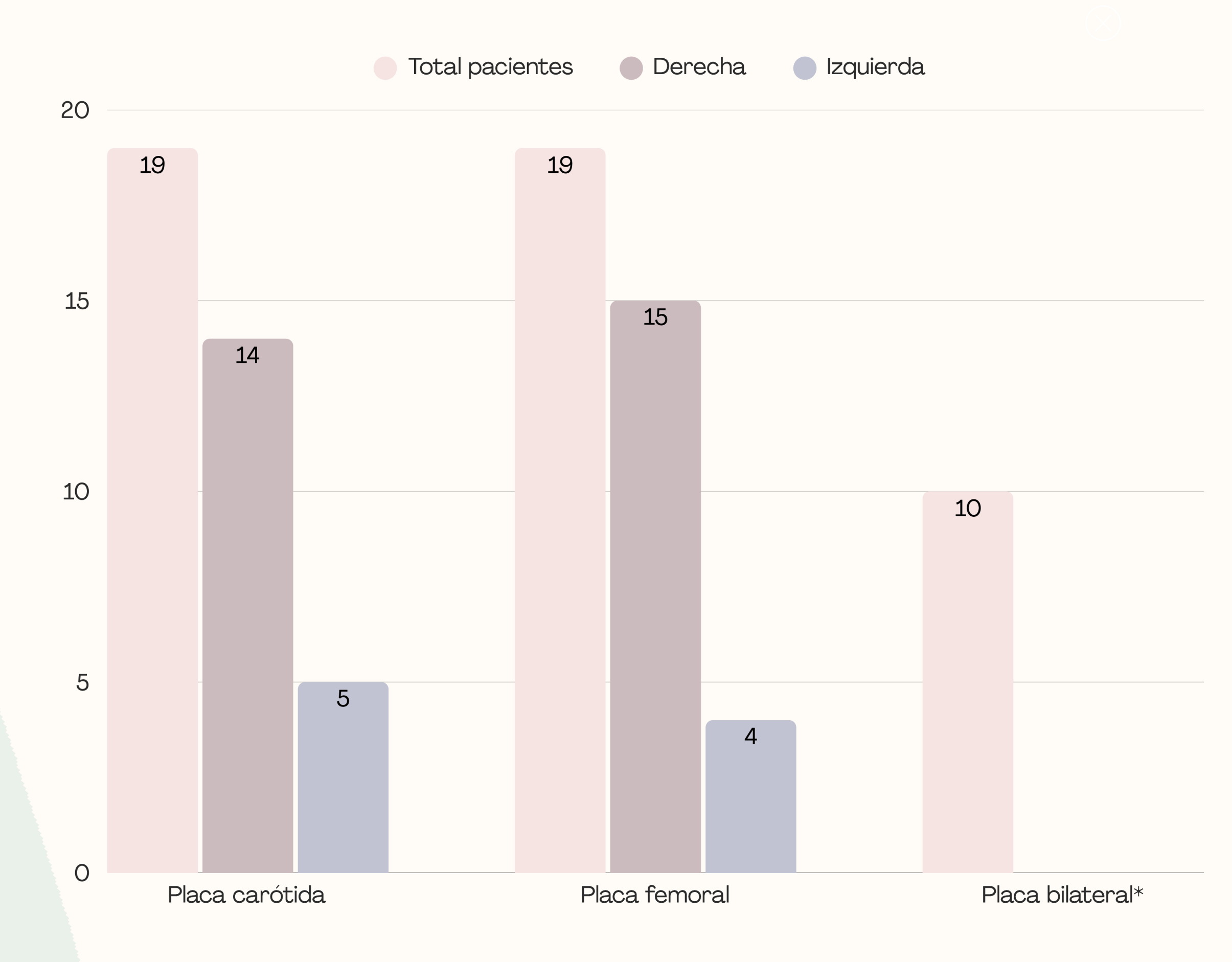
Frecuencia relativa (%) de <u>hombres</u> con placa de ateroma



Cambio en el RCV tras detección de placa en ecografía arterial de carótidas y/o femorales.

Localización de la placa según arteria y lateralidad

Lugar en el que nos encontramos placa unilateral de ateroma.



Comparación de variables clínico-analíticas con respecto a la presencia de placa (Valor p)

| VARIABLE | PLACA (n: 28) | | NO PLACA (n: 62) | | |
|---------------|---------------|--------|------------------|--------|-------------|
| | Media | DE | Media | DE | Valor p (*) |
| Edad | 56,11 | 6,80 | 53,95 | 6,62 | 0,159 |
| TAS | 128,32 | 10,62 | 128,48 | 10,39 | 0,946 |
| TAD | 81,71 | 10,23 | 81,39 | 9,57 | 0,830 |
| Peso (kg) | 73,32 | 13,84 | 75,376 | 15,62 | 0,551 |
| Talla (m) | 1,66 | 0,95 | 1,66 | 0,92 | 0,780 |
| IMC | 26,76 | 4,36 | 27,66 | 5,71 | 0,435 |
| СТ | 225,68 | 39,59 | 223,29 | 27,52 | 0,774 |
| HDL | 56,64 | 17,34 | 60,26 | 16,25 | 0,341 |
| LDL | 142,10 | 32,95 | 139,11 | 24,72 | 0,638 |
| LpA* | 24,97 | 474,50 | 28,13 | 956,50 | 0,475 |
| АроВ* | 113,29 | 49,24 | 129,42 | 26,51 | 0,808 |
| Col No HDL | 169,04 | 36,90 | 162,13 | 31,28 | 0,362 |
| Triglicéridos | 135,07 | 69,77 | 113,29 | 49,24 | 0,143 |

^{*}Revisión del perfil LpA y ApoB solicitado revisado hasta Enero de 2025. No realizados: 38.

Comparación de variables cualitativas con respecto a la presencia de placa (Valor p)

| VADIADI E | | PLACA | | v(O)/olor p | |
|----------------|-----------|-------|-----------|-------------|--|
| VARIABLE | SI | NO | χ2Valor p | | |
| SEXO | MASCULINO | 7 | 21 | 1,000 | |
| SEAU | FEMENINO | 16 | 46 | 1,000 | |
| FUMADOR | SI | 5 | 3 | 0,683 | |
| FUNIADOR | NO | 57 | 25 | 0,003 | |
| SEDENTARIO | SI | 16 | 33 | 0.610 | |
| SEDENTARIO | NO | 8 | 24 | 0,619 | |
| TDATAMIENTO | SI | 7 | 7 | 0.007 | |
| TRATAMIENTO | NO | 21 | 55 | 0,097 | |
| LIΤΛ | SI | 9 | 15 | 0,449 | |
| HTA | NO | 19 | 47 | 0,449 | |
| EDOC | SI | 1 | 1 | 0,560 | |
| EPOC | NO | 27 | 61 | | |
| ENIE DELIMAT | SI | 3 | 3 | 0.201 | |
| ENF REUMAT. | NO | 25 | 59 | 0,301 | |
| TDACT MACNITAL | SI | 3 | 4 | 0,485 | |
| TRAST MENTAL | NO | 25 | 58 | | |
| MIGRAÑAS | SI | 1 | 1 | 0.560 | |
| IVIIGRAIVAS | NO | 27 | 61 | 0,560 | |

Perspectiva de género: Variable sexo vs Lateralidad (Valor p)

| VARIABLE | | Lugar placa carótida | | | v2\/alor p |
|----------|-----------|----------------------|------------|-----------|------------|
| | | No | Unilateral | Bilateral | χ2Valor p |
| Sexo | Masculino | 19 | 4 | 0 | 0,399 |
| | Femenino | 52 | 10 | 5 | |
| VARIABLE | | Lateralidad carótida | | | v2\/olorp |
| | | Derecha | Izquierda | Bilateral | χ2Valor p |
| Sexo | Masculino | 2 | 2 | 0 | |
| | Femenino | 4 | 6 | 5 | 0,377 |

| VARIABLE | | Lugar placa femoral | | | v2\/alor p |
|----------|-----------|---------------------|------------|-----------|------------|
| | | No | Unilateral | Bilateral | χ2Valor p |
| Sexo | Masculino | 18 | 4 | 1 | 0,994 |
| | Femenino | 53 | 11 | 3 | |
| VARIABLE | | Lateralidad femoral | | | v2\/alor p |
| | | Derecha | Izquierda | Bilateral | χ2Valor p |
| Sexo | Masculino | 1 | 3 | 1 | 0,980 |
| | Femenino | 4 | 7 | 3 | 0,980 |

DISCUSIÓN Y CONCLUSIONES

• El 31% de los pacientes estudiados presentaban placas de ateroma, lo que implica la reclasificación a riesgo cardiovascular alto en estos pacientes.

• El **31**% de los pacientes estudiados presentaban **placas de ateroma**, lo que implica la reclasificación a **riesgo cardiovascular alto** en estos pacientes.

Artículo original

Papel de la ecografía carotídea en la reclasificación del riesgo cardiovascular de sujetos de riesgo bajo-intermedio



Blai Coll^a, Angels Betriu^a, Steve B. Feinstein^b, Jose M. Valdivielso^a, Jose L. Zamorano^c y Elvira Fernández^{a,*}

Influence of Subclinical Atherosclerosis Burden and Progression on Mortality



Valentin Fuster, MD, PhD, a,b,* Ana García-Álvarez, MD, PhD, a,c,d,e,* Ana Devesa, MD, PhD, a,b Virginia Mass, RN, Ruth Owen, PhD, Antonio Quesada, PhD, José J. Fuster, PhD, a,e Inés García-Lunar, MD, PhD, a,e,f Stuart Pocock, MD, PhD, a,g Javier Sánchez-González, PhD, Samantha Sartori, PhD, Carlos Peyra, MBA,b Vicente Andres, PhD, a,e Pieter Muntendam, PhD, Borja Ibanez, MD, PhDa,e,j

→ 47-69% (n=7.687)

Localización y carga de ateromatosis subclínica en población con un riesgo cardiovascular bajo-moderado: estudio ILERVAS



Marcelino Bermúdez-López^{a,*}, Montse Martínez-Alonso^b, Eva Castro-Boqué^a, Àngels Betriu^a, Serafí Cambray^a, Cristina Farràs^c, Ferran Barbé^d, Reinald Pamplona^e, Albert Lecube^{f,g}, Dídac Mauricio^{g,h}, Francisco Purroyⁱ, José Manuel Valdivielso^{a,1,*}, Elvira Fernández^{a,1} y en representación de los colaboradores del proyecto ILERVAS²

→ 71% (n=8.330)

^{*} UDETMA, Servicio de Nefrología, Hospital Universitari Arnau de Vilanova, IRBLleida, Lleida, España

^b Cardiology Department, Rush University Medical School, Chicago, Illinois, Estados Unidos

^c Servicio de Cardiología, Hospital Clínico Universitario San Carlos, Madrid, España

• El **31**% de los pacientes estudiados presentaban **placas de ateroma**, lo que implica la reclasificación a **riesgo cardiovascular alto** en estos pacientes.

• No se lograron relaciones estadísticamente significativas en el análisis de datos, pero se observaron tendencias que concuerdan con la fisiopatología de la enfermedad aterosclerótica.

- El **31**% de los pacientes estudiados presentaban **placas de ateroma**, lo que implica la reclasificación a **riesgo cardiovascular alto** en estos pacientes.
- No se lograron relaciones estadísticamente significativas en el análisis de datos, pero se observaron tendencias que concuerdan con la fisiopatología de la enfermedad aterosclerótica.
- La ausencia de diferencias significativas en algunos análisis puede deberse al tamaño reducido de la muestra.

- El **31**% de los pacientes estudiados presentaban **placas de ateroma**, lo que implica la reclasificación a **riesgo cardiovascular alto** en estos pacientes.
- No se lograron relaciones estadísticamente significativas en el análisis de datos, pero se observaron tendencias que concuerdan con la fisiopatología de la enfermedad aterosclerótica.
- La ausencia de diferencias significativas en algunos análisis puede deberse al tamaño reducido de la muestra.
- Médicos de **Atención Primaria**, con formación básica en ecografía vascular, pueden realizar detecciones útiles que contribuyen a una mejor estratificación del riesgo cardiovascular y a la toma de decisiones clínicas más informada.

DIFUSIÓN

Realización de abstract para Cadernos de Atención Primaria.

Inclusión en el cuaderno del residente.

Sesiones clínicas en los respectivos centros de salud.

El proceso de desarrollo y los resultados de este trabajo se han enviado para ser incluido como presentación oral en la WONCA (World Organization of Family Doctors) que se celebrará en Lisboa en 2025.

Presentación de convocatoria en el "V PREMIO DE INVESTIGACIÓN PAPPS-semFYC — Fundación Mutual Médica"

CONFLICTO DE INTERESES

LOS AUTORES DECLARAN NO TENER CONFLICTO DE INTERÉS

Muchas gracias por vuestra atención